

денции медленного сокращения маркетингового производства в будущем может привести к сохранению в 2000—2005 гг. значительной части (35—40%) устаревшего низкоэффективного способа производства [5]. Это, прежде всего, скажется на повышении конкурентоспособности металлургии Украины на мировом рынке. В свою очередь, рассмотренные перспективы развития мирового производства и потребления стали (отсутствие тенденций повышения потребности в металлургии) дают возможность украинским металлургическим предприятиям определить основные направления структурной перестройки: сокращение доли маркетингового производства, ускоренное внедрение современных технологий внепечной обработки и непрерывной разливки стали, развитие электросталеплавильных цехов по концепции построения мини-завода и пр.

Таким образом, для Украины крайне важно тщательное изучение мирового опыта развития и реконструкции черной металлургии как ведущей отрасли народного хозяйства. Это позволяет определить перспективную программу последовательного включения страны в общеевропейский процесс интеграции. Соответственно ближайшей задачей металлургических предприятий Украины можно считать повышение технологического уровня в производстве стали, что обеспечит конкурентоспособное качество металлургии и доведение производства до международной сертификации в соответствии с требованиями стандартов серии ISO 9001 и ISO 9002. Решение таких задач охватывает проблематику скорейшей модернизации цикла сталеплавильного передела на ведущих предприятиях отрасли, что в общем случае должно предполагать не только обеспечение гарантированного качества, но и снижение удельных затрат на производство.

### **Список литературы**

1. Мазур В.А. Перспективы развития горно-металлургического комплекса Украины. — Сталь, 1996. № 7. — С.2—5.
2. World Crude Steel Production by Process. — Iron & Steel Maker, 1997. July 15. — P.12—13.
3. Смирнов А.Н., Панфилова Т.С., Матвийчук В.И. Прогноз изменения объемов мирового производства стали. — Металлург. 1999 № 1. — С.14—16.
4. Большаков В.И. Научно-техническое обеспечение программы развития металлургии Украины// Металлургическая и горнорудная промышленность. 1997. № 1. — С.3—6.
5. Афонин С.З. Россия на мировом рынке стальной продукции// Сталь. 1998. № 6. — С.68—73.
6. Privatization and changing ownership in the steel industry. ECE Steel Series, 1996. — UNITED NATIONS, New York and Geneva, 1996. — 95p.
7. Матвийчук В.И., Панфилова Т.С., Смирнов А.Н. Исследование динамики развития прогрессивных способов производства стали в Украине// Современные проблемы становления промышленного производства в условиях формирования рынка и пути их решения: Сб. трудов Донецкого института предпринимательства. — Донецк: 1997. — С.42—49.

© Смирнов А.Н., Панфилова Т.С., Матвийчук В.И., 1999.

## **СОЕДИНЕНИЕ ПОЛИЭТИЛЕНОВЫХ ТРУБОПРОВОДОВ СТЕКЛОПЛАСТИКОВЫМИ МУФТАМИ**

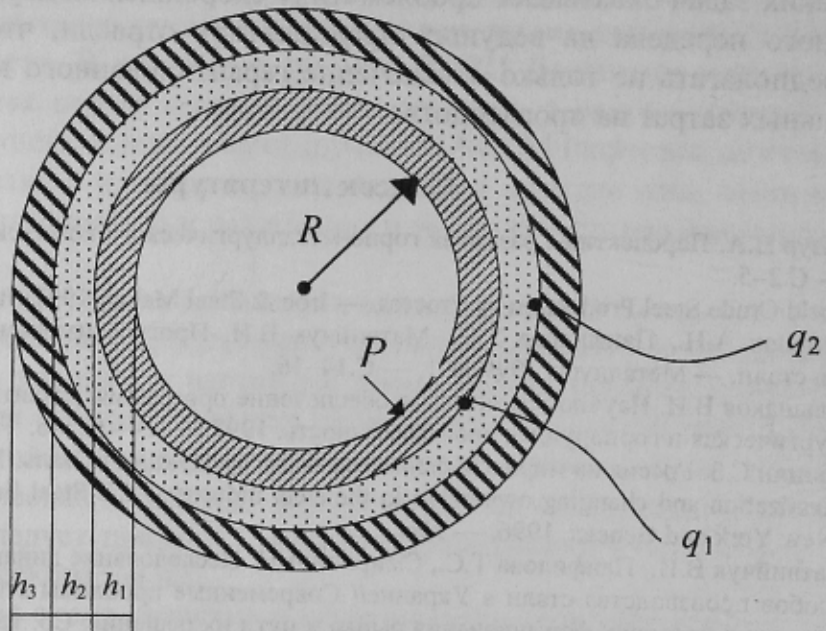
ШЕЛУДЧЕНКО В.И. (ОАО «ДОНЕЦКОБЛГАЗ»)

*Выполнен теоретический анализ муфто-клееового трубного соединения. Расчитаны прочностные характеристики соединения полиэтилен — эпоксидный клей — стеклопластик при действии внутреннего гидростатического давления и растягивающих напряжений. Показано, что такой тип соединения способен выдерживать значительные нагрузки.*

В последние годы для транспортировки газообразных и жидких сред широкое распространение получают трубопроводы из полиэтилена [1]. Нами был предложен простой способ [2] соединения полиэтиленовых труб с использованием стеклопластиковых муфт и пеноклеев, включающий размещение муфты в области стыка труб, заполнение зазора между муфтой и концами труб пеноадгезивом и отверждение последнего. Применение указанного способа для восстановления поврежденных участков трубопроводов подтвердило его эффективность [3]. В настоящей работе выполнен теоретический анализ предложенного типа соединений. Он позволяет оценить прочностные характеристики в условиях действия растягивающих напряжений, которые нередко возникают из-за подвижек грунта.

Представим соединение как трехслойный цилиндр (рисунок 1). Под действием давления все точки сечения цилиндра получают радиальное перемещение  $U(r)$ . Кроме того, в теле трубы, клеевого слоя и муфты возникают радиальные ( $\sigma_r(r)$ ) и тангенциальные ( $\sigma_t(r)$ ) напряжения (здесь  $r$  — расстояние точки от оси цилиндра).

Согласно [4], для тонкостенного однослойного цилиндра, находящегося под действием внутреннего давления  $p_a$  и внешнего давления  $p_b$ , величины смещений, напряжений определяются по формулам:



**Рисунок 1 – Соединение полиэтилен — эпоксидный клей — стеклопластик в виде трехслойного цилиндра**

$$U(r) = \frac{a}{h} \frac{p_a - p_b}{E} r; \quad (1)$$

$$\sigma_r(r) = (p_a - p_b) \frac{r - b}{h} - p_b; \quad (2)$$

$$\sigma_t(r) = \frac{a}{h} (p_a - p_b) - p_b, \quad (3)$$

где  $a$  и  $b$  — соответственно наружный и внутренний радиусы цилиндра,  $h$  — толщина стенки,  $E$  — модуль Юнга материала цилиндра.

Применим эти формулы для расчета трехслойного цилиндра. Обозначим как  $q_1$  и  $q_2$  радиальные напряжения, возникающие в месте контакта трубы — клей и клей — муфты. Тогда, на основании (1)–(3) получим следующие соотношения для смещений и напряжений в теле трубы, kleевого слоя и муфты:

Для трубы

$$R \leq r \leq R + h_1;$$

$$\sigma_r^T = (p - q_1) \frac{r - R - h_1}{h_1} - q_1;$$

$$\sigma_t^T = \frac{R}{h_1} (p - q_1) - q_1;$$

$$u_1^T = \frac{R}{h_1} \frac{p - q_1}{E_1} r,$$

где  $E_1$  — модуль упругости материала трубы.

Для kleевого слоя:

$$R + h_1 \leq r \leq R + h_1 + h_2;$$

$$\sigma_r^K = (q_1 - q_2) \frac{r - R - h_1 - h_2}{h_2} - q_2;$$

$$\sigma_t^K = \frac{R + h_1}{h_2} (q_1 - q_2) - q_2;$$

$$u_2^K = \frac{R + h_1}{h_2} \frac{q_1 - q_2}{E_2} r,$$

где  $E_2$  — модуль упругости пористого клея.

Согласно [4]:

$$E_2 = E_{20} (1 - \theta)^{3/2},$$

где  $\theta$  — пористость клея,  $E_{20}$  — модуль упругости основы клея.

$$\theta = 1 - \frac{\rho_K}{\rho_0},$$

где  $\rho_K$  — кажущаяся плотность материала клея,  $\rho_0$  — плотность материала основы клея.

Для муфты:

$$R + h_1 + h_2 \leq r \leq R + h_1 + h_2 + h_3;$$

$$\sigma_r^M = q_2 \frac{r - R - h_1 - h_2 - h_3}{h_3};$$

$$\sigma_t^M = \frac{R + h_1 + h_2}{h_3} q_2;$$

$$u_3^M = \frac{R + h_1 + h_2}{h_3} \frac{q_2}{E_3} r,$$

где  $E_3$  — модуль упругости материала муфты.

Значения  $q_1$  и  $q_2$  найдем из условия отсутствия разрывов на границах трубы — клей и клей — муфта.

На границе трубы — клей имеем:

$$\frac{R}{h_1} \frac{p - q_1}{E_1} (R + h_1) = \frac{R + h_1}{h_1} \frac{q_1 - q_2}{E_2} (R + h_1). \quad (4)$$

На границе клей — муфта:

$$\frac{R + h_1}{h_2} \frac{q_1 - q_2}{E_2} (R + h_1 + h_2) = \frac{R + h_1 + h_2}{h_3} \frac{q_2}{E_3} (R + h_1 + h_2). \quad (5)$$

Решая систему уравнений (4)–(5) и пренебрегая малыми слагаемыми, получаем:

$$q_1 = \frac{p \left(1 + \frac{E_1}{E_2}\right)}{1 + \frac{E_2}{E_3} + \frac{E_1}{E_3}}; \quad (6)$$

$$q_2 = \frac{p}{1 + \frac{E_2}{E_3} + \frac{E_1}{E_3}}. \quad (7)$$

Подставляя эти выражения в соотношения для  $\sigma_r^K$  и  $\sigma_t^K$ , найдем напряжения, возникающие в kleевом слое:

$$\sigma_t^K = p \frac{\frac{R}{h_2} \frac{E_2}{E_3} - 1}{1 + \frac{E_2}{E_3} + \frac{E_1}{E_3}}; \quad (8)$$

$$\sigma_r^K = \frac{p}{1 + \frac{E_2}{E_3} + \frac{E_1}{E_3}} \left( \frac{E_2}{E_3} \frac{r - R - h_1 - h_2}{h_2} - 1 \right). \quad (9)$$

Из соотношений (8), (9) следует, что напряжения  $\sigma_r^k$  в kleевом слое могут быть только сжимающими ( $\sigma_r^k < 0$ ), а  $\sigma_t^k$  — как сжимающими, так и растягивающими, в зависимости от знака разности

$$\Delta = \frac{R}{h_2} \frac{E_2}{E_3} - 1. \quad (10)$$

Если  $\Delta > 0$ , т.е.  $RE_2 > h_2 E_3$ , то  $\sigma_t^k > 0$  и тангенциальные напряжения в kleевом слое являются растягивающими. Если  $\Delta < 0$ , т.е.  $RE_2 < h_2 E_3$ , то  $\sigma_t^k < 0$  и тангенциальные напряжения в kleевом слое являются сжимающими.

Прочность соединения определим из условия потери несущей способности пористого kleевого слоя. Согласно работе [5], пористый материал теряет несущую способность (разрушается либо пластиически деформируется) при выполнении условия:

$$\frac{\sigma^2}{\psi(\theta)} + \frac{\tau^2}{\phi(\theta)} = (1-\theta)K^2, \quad (11)$$

где

$$\sigma = \frac{1}{3} (\sigma_t^k + \sigma_r^k); \quad (12)$$

$$\tau = \sqrt{\frac{2}{3}} |\sigma_t^k - \sigma_r^k|, \quad (13)$$

$\theta$  — относительная пористость слоя,

$K = \sqrt{\frac{2}{3}} \sigma_{cж}$ ,  $\sigma_{cж}$  — предел прочности на сжатие,

$$\phi(\theta) = (1-\theta)^2, \quad \psi(\theta) = \frac{2}{3} \frac{(1-\theta)^3}{\theta}. \quad (14)$$

Соотношения (8), (9), (11)–(14) позволяют произвести расчет на прочность kleевого соединения при произвольных значениях параметров.

Рассчитаем на основе полученных соотношений максимально возможное давление в трубе для случая, когда материал трубы — полиэтилен высокого давления ( $E_1=200$  МПа), материал kleя — эпоксидная смола ( $E_{20}=10^3$  МПа,  $\sigma_{cж}=20$  МПа,  $\rho_0=1,2$  г/см<sup>3</sup>,  $\rho_k=0,50$  г/см<sup>3</sup>), материал муфты — стеклопластик ( $E_3=5 \cdot 10^4$  МПа).

В этом случае  $\frac{E_2}{E_3} \ll 1$  и  $\frac{E_1}{E_3} \ll 1$ . Учитывая эти соотношения, упрощаем (8),

(9) и получаем:  $\sigma_t^k \approx \sigma_r^k \approx -p$ .

Подставляя эти значения в (11)–(13), получаем:

$$p_{max} = \sigma_{cж} \frac{(1-\theta)^2}{\sqrt{\theta}}. \quad \text{В нашем случае: } \theta = 1 - \frac{\rho_k}{\rho_0} = 0,58, \quad p_{max} \approx 4 \text{ МПа.}$$

Расчет прочности соединения по осевым растягивающим усилиям выполняется гораздо проще. Очевидно:

$$F_{max} = \pi(R + h_1)L\tau_{max}, \quad (15)$$

где  $L$  — длина муфты,  $\tau_{max}$  — максимально возможные касательные напряжения в слое.

Если поверхность трубы гладкая, то  $\tau_{max}$  — адгезионная прочность kleевого соединения, если же имеется специально созданный рельеф, то разрушение происходит по телу kleевого слоя и  $\tau_{max}$  равно пределу прочности kleевого слоя на сдвиг.

Сопоставим  $F_{max}$  с максимально возможными растягивающими усилиями  $F_{max}^0$  для сплошной трубы. В этом случае

$$F_{max}^0 = \pi R h_1 \sigma_B, \quad (16)$$

где  $\sigma_B$  — предел прочности материала трубы при растяжении.

Из (15) и (16) получаем:

$$\frac{F_{max}}{F_{max}^0} \approx \frac{L}{h_1} \frac{\tau_{max}}{\sigma_B}. \quad (17)$$

Для рассмотренного выше конкретного соединения  $L \approx 100$  мм,  $h_1 = 4$  мм,  $\sigma_B = 10$  МПа,  $\tau_{max} = 0,1$  МПа,

$$\frac{F_{max}}{F_{max}^0} = 0,25,$$

то есть максимально возможные усилия растяжения снизились из-за соединения трубы в 4 раза.

Если бы поверхность трубы была с рельефом, то  $\tau_{max} \approx 5$  МПа и

$$\frac{F_{max}}{F_{max}^0} = 12,5,$$

то есть композиционное соединение на порядок прочнее трубы.

**Вывод:** полученные в работе аналитические выражения позволяют оценить прочность муфто-kleевого соединения в зависимости от его геометрических размеров и типа использованных материалов. Выполненные расчеты показывают, что при соответствующей подготовке склеиваемых поверхностей соединение полиэтилен — эпоксидный клей — стеклопластик способно выдерживать значительные растягивающие напряжения, сопоставимые с прочностью материала трубы.

### Список литературы

- Г.И. Шапиро, С.В. Ехлаков, В.В. Абрамов. Пластмассовые трубопроводы — М.: Химия, 1986 — 144 с.
- Патент 10300, Україна. Спосіб з'єднання поліетіленових труб/В.Ф.Строганов, В.І.Шелудченко, В.М.Савченко, Г.І.Пшеничний. — 1996 — Бюл. № 4. Спосіб з'єднання поліетіленових труб/В.Ф.Строганов, В.І.Шелудченко, В.М.Савченко, Г.І.Пшеничний. — 1996 — Бюл. № 4.
- В.Ф. Строганов, В.А. Белошенко, В.И. Шелудченко, Клеевые технологии в соединении, ремонте трубопроводов из полимерных материалов.//Полимергаз. — 1998 — № 4 — с.35.
- В.И. Федосьев. Сопротивление материалов. — М.: Наука, 1970 — 544 с.
- В.В. Скороход. Физико-механические свойства пористых материалов//Порошковая металлургия — 77. — К.: Наук.думка, 1977 — с.120–129.